

稀土离子对DNA作用的循环伏安法 和光谱法研究

沈鹤柏 * 康玉专 杨海峰 郁林 章宗穰

(上海师范大学化学系 上海 200234)

摘要 运用循环伏安法、紫外光谱和拉曼光谱等方法研究了 Eu^{3+} 、 Ce^{3+} 、 Er^{3+} 、 Sm^{3+} 、 Tb^{3+} 、 La^{3+} 、 Nd^{3+} 等稀土金属离子与 DNA(小牛胸腺)的相互作用。 Ce^{3+} 与 DNA 作用后, Ce^{3+} 的 CV 曲线的峰电流密度明显降低,且氧化峰降低的程度大于还原峰; Ce^{3+} 的差示 UV 曲线呈减色效应,且在 272 nm 处出现新峰;DNA 的差示 UV 曲线呈增色效应;DNA 的拉曼谱线中 814 cm^{-1} 处的峰消失,表明铈离子对 DNA 的磷酸二酯键具有切断作用。 Eu^{3+} 和 DNA 作用后, Eu^{3+} 的 CV 曲线的峰电流密度仅略有减少,氧化峰和还原峰电流密度降低程度相近,且 DNA 的差示 UV 曲线呈减色效应。可能是 Eu^{3+} 和 DNA 磷酸基之间的静电作用使碱基面进一步堆积所致。 Er^{3+} 、 Sm^{3+} 、 Tb^{3+} 、 La^{3+} 、 Nd^{3+} 也都能与 DNA 发生作用,但是,与 DNA 作用的能力不同。其中 Ce^{3+} 离子对 DNA 作用最强,且对 DNA 主链磷酸二酯键具有切断功能, Ce^{3+} 离子有可能成为催化水解切断 DNA 的“分子剪刀”。

关键词 DNA, 稀土金属离子, 循环伏安法, 光谱法

DNA 中磷酸二酯键非常稳定,在 pH 7.25 时,如无天然酶参与下,水解断裂 DNA 中磷酸二酯键的速度非常缓慢,但天然限制性内切酶识别序列短,专一性强,不能满足分子生物学和生物工程的需要。因此,应用化学物质水解断裂核苷酸间磷酸酯键是一项有意义的工作^[1]。近 10 年来,天然限制性内切酶模型化合物的开发研究及与此相关的金属离子、金属配合物及药物分子与 DNA 相互作用的研究是活跃的前沿研究领域之一^[2]。上述体系中研究较多的有铜配合物、铁配合物、镍配合物等。这些金属配合物对 DNA 的作用大多通过游离基破坏脱氧核糖环,从而导致 DNA 磷酸二酯键断裂,这种断裂 DNA 的方法,严重破坏了 DNA 链上的碱基和脱氧核糖环,使其应用受到极大限制。有关稀土金属离子及配合物与 DNA 作用的报导尚不多见^[3~5]。本文用循环伏安法(CV)和光谱法研究了铕离子和铈离子等七种稀土金属离子对 DNA 的作用,发现不同稀土金属离子与 DNA 作用不同,铈离子和 DNA 作用后,使 DNA 的构型发生变化,并具有切断 DNA 的作用。这一结果可为探索新的 DNA 水解切断体系及了解稀土元素进入人体后的机制提供有价值的依据。

本文 1998-01-20 收到, 1998-04-21 收到修改稿; 上海市教委重点科研项目基金资助

* 通讯联系人



1 实验部分

1.1 试剂和仪器

DNA(小牛胸腺),中国科学院上海生物研究所东风生化技术公司提供,其余试剂均为市售分析纯.ZF-3型恒电位仪,ZF-4型信号发生器(上海防腐专业公司);LM15型函数记录仪(上海大华仪表厂);HP8451A紫外分光光度计(美国HP公司);超级小型共焦拉曼光谱仪(法国Dilor公司).

1.2 溶液配制和测量

将氯化铕、硝酸铈等稀土金属氯化物或硝酸盐和DNA配制在HAc-NaAc缓冲溶液中(pH 6),测定稀土离子及DNA的差示UV曲线和 Ce^{3+} 、 Er^{3+} 、 Sm^{3+} 、 Tb^{3+} 、 La^{3+} 、 Nd^{3+} 分别与DNA作用产物的拉曼光谱,测定上述体系的CV曲线.工作电极为金丝电极($\varnothing=1\text{ mm}$),对电极为螺旋状铂丝电极,参比电极为Ag/AgCl电极.

2 结果与讨论

2.1 DNA对 Eu^{3+} 、 Ce^{3+} 的CV曲线的影响

天然DNA分子,其碱基的电还原活性位点深藏于双螺旋中,一般不能参与电极过程.而变性后的单链DNA分子的碱基,虽然能发生化学还原和氧化,但还原电位较负(<-1.2 V(vs. SCE))^[6].缓冲溶液中天然DNA在-0.1~1.6 V(vs. Ag/AgCl)范围内,也不发生电化学响应.作者根据DNA的加入对 Eu^{3+} 和 Ce^{3+} 的CV曲线的影响,研究了DNA和 Eu^{3+} 和 Ce^{3+} 的相互作用.图1示出 Eu^{3+} 与DNA相互作用的CV曲线.图1中,曲线a)($\text{EuCl}_3 1.6 \times 10^{-3} \text{ mol L}^{-1}$)的氧化峰和还原峰的峰电位差约为70 mV. i_p^a 和 i_p^c 之比接近1,为准可逆电子迁移过程.而曲线b)(保持pH值不变,溶液组成为: $1.6 \times 10^{-3} \text{ mol L}^{-1} \text{ Eu}^{3+}$ 加 $1 \times 10^{-4} \text{ mol L}^{-1}$ DNA混合)的峰电位则几乎不变,峰电流稍有减小,氧化峰和还原峰的减小程度相近.这可能是由于 Eu^{3+} 带正电荷,DNA分子中的磷酸基带负电荷,发生了某种程度的静电作用,导致自由状态 Eu^{3+} 的浓度降低,从而使峰电流降低.

图2是DNA和 Ce^{3+} 相互作用的CV曲线.曲线a)(扫描速度20 mV·s⁻¹, $\text{Ce}(\text{NO}_3)_3 1.6 \times 10^{-3} \text{ mol L}^{-1}$)在1.40 V(vs. Ag/AgCl)处有一氧化峰,0.52 V(vs. Ag/AgCl)处有一还原峰,峰电位差远大于59 mV, i_p^a 和 i_p^c 之比为1.7,是不可逆过程.曲线b)(保持扫描速度和pH值不变),溶液组成: $1.6 \times 10^{-3} \text{ mol L}^{-1} \text{ Ce}^{3+}$ 和 $1 \times 10^{-4} \text{ mol L}^{-1}$ DNA混合的氧化峰位置稍有负移,还原峰位置几乎不变,氧化峰和还原峰电流明显减小.并且,氧化峰电流比还原峰电流降低得更多.表明 Ce^{3+} 比 Eu^{3+} 对DNA有较强的作用,且其作用机理也应有所不同.为此,采用光谱方法对 Ce^{3+} 、 Eu^{3+} 和DNA的作用作了进一步研究.

2.2 稀土金属离子与DNA作用的紫外光谱

测定 Eu^{3+} 的UV曲线, Eu^{3+} 在紫外区无吸收.将 $2 \times 10^{-4} \text{ mol L}^{-1} \text{ Eu}^{3+}$ 与 $2 \times 10^{-4} \text{ mol L}^{-1}$ DNA作用后,测定其UV曲线,并与未加 Eu^{3+} 的DNA($2 \times 10^{-4} \text{ mol L}^{-1}$)的UV曲线相比较.发现加入 Eu^{3+} 后,UV曲线形状几乎不变,仅略有减色效应(图略),这可能是由于 Eu^{3+} 带正电荷,而DNA的磷酸基带负电荷,两者发生静电作用,使碱基进一步堆积所致^[7,8].

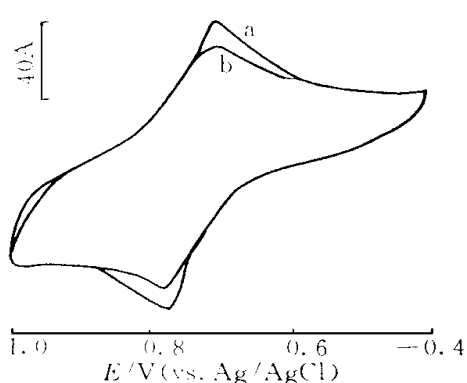


图 1 镨离子与 DNA 作用的 CV 曲线

Fig. 1 Effect of DNA on the CV curve of Eu^{3+} ion
 a) Solution of $1.6 \times 10^{-3} \text{ mol L}^{-1} \text{ Eu}^{3+}$
 b) Solution of $1.6 \times 10^{-3} \text{ mol L}^{-1} \text{ Eu}^{3+}$ and $1 \times 10^{-4} \text{ mol L}^{-1} \text{ DNA}$
 Scan rate: 20 mV S^{-1}

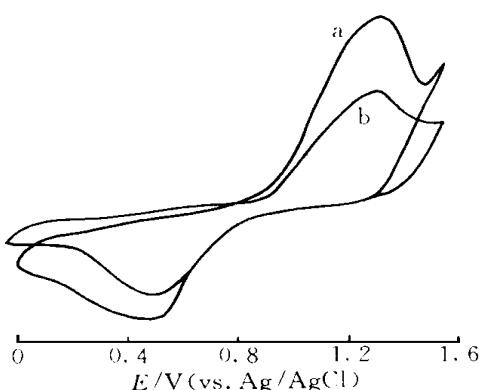


图 2 钆离子与 DNA 作用的 CV 曲线

Fig. 2 Effect of DNA on the CV curve of Ce^{3+} ion
 a) Solution of $1.6 \times 10^{-3} \text{ mol L}^{-1} \text{ Ce}^{3+}$
 b) Solution of $1.6 \times 10^{-3} \text{ mol L}^{-1} \text{ Ce}^{3+}$ and $1 \times 10^{-4} \text{ mol L}^{-1} \text{ DNA}$
 Scan rate: 20 mV S^{-1}

图 3 是 Ce^{3+} 与 DNA 作用的 Ce^{3+} 的差示 UV 曲线, 曲线 a ($\text{Ce}^{3+} 2 \times 10^{-4} \text{ mol L}^{-1}$) 在 228 nm 处有一最大吸收峰。曲线 b ($2 \times 10^{-4} \text{ mol L}^{-1} \text{ Ce}^{3+}$ 和 $2 \times 10^{-4} \text{ mol L}^{-1} \text{ DNA}$ 作用后, 以 $2 \times 10^{-4} \text{ mol L}^{-1} \text{ DNA}$ 为参比) 示出 Ce^{3+} 最大吸收峰呈减色效应, 且稍有红移, 而在 272 nm 处出现新峰。1 h 后再次测定同一溶液时发现 228 nm 和 272 nm 处的吸光度都有所增加, 如 c) 所示。图 4a) 是 DNA 的 UV 曲线, 在 260 nm 处有一特征吸收峰。而 b) ($2 \times 10^{-4} \text{ mol L}^{-1} \text{ Ce}^{3+}$ 和 $2 \times 10^{-4} \text{ mol L}^{-1} \text{ DNA}$ 作用后, 以 $2 \times 10^{-4} \text{ mol L}^{-1} \text{ Ce}^{3+}$ 为参比) 呈增色效应。如果 Ce^{3+} 与 DNA 没有作用, 则图 3 中的 a), b), c) 三条曲线及图 4 中的 a), b) 两条曲线应重合。实验结果表明 Ce^{3+} 和 DNA 发生较强的作用, 反映在 DNA 的差示 UV 曲线呈增色效应及 272 nm 处出现新峰。Komiyama 和朱兵等^[3,4]曾报导铈离子具有催化水解生物体内磷酸二酯键化合物的功能。笔者推测上述实验现象可能是由于铈离子切断 DNA 的磷酸二酯键所致。所以, Ce^{3+} 比 Eu^{3+} 对 DNA 有较强作用, 且作用机理不同。

按上述相同方法还分别测定了 Er^{3+} 、 Sm^{3+} 、 Tb^{3+} 、 La^{3+} 、 Nd^{3+} 等与 DNA 作用后 DNA 的差示 UV 曲线。实验结果表明, 上述稀土金属离子与 DNA 作用后, DNA 的差示 UV 曲线呈不同程度的增色效应。若以 DNA 的吸光度为 1, 稀土金属离子与 DNA 作用后吸光度增值即如表 1 所列。

表 1 稀土金属离子与 DNA 作用后 DNA 吸光度的变化

Tab. 1 The change of DNA adsorbance after adding rare earth ions into DNA solution

与 DNA 作用的金属离子	Ce^{3+}	Er^{3+}	Sm^{3+}	Tb^{3+}	La^{3+}	Nd^{3+}	Eu^{3+}
吸光度增加值(%)	8.2	6.0	4.5	3.5	1.6	0.5	-7.4

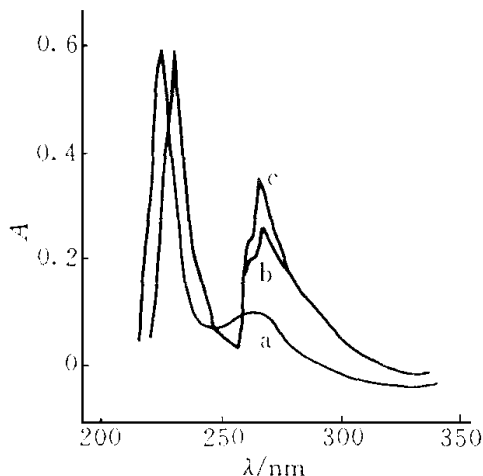


图3 铒离子与DNA作用后的 Ce^{3+} 的差示UV曲线

Fig. 3 Differential UV spectra of Ce^{3+} ion after adding Ce^{3+} ion into DNA solution
 a) Solution of $2 \times 10^{-4} \text{ mol} \cdot \text{L}^{-1} \text{ Ce}^{3+}$, HAc-NaAc buffer ($\text{pH} = 6$) as the reference
 b) Solution of $2 \times 10^{-4} \text{ mol} \cdot \text{L}^{-1} \text{ Ce}^{3+}$ and $2 \times 10^{-4} \text{ mol} \cdot \text{L}^{-1}$ DNA, Solution of $2 \times 10^{-4} \text{ mol} \cdot \text{L}^{-1}$ DNA as the reference
 c) 1 hour after mixing

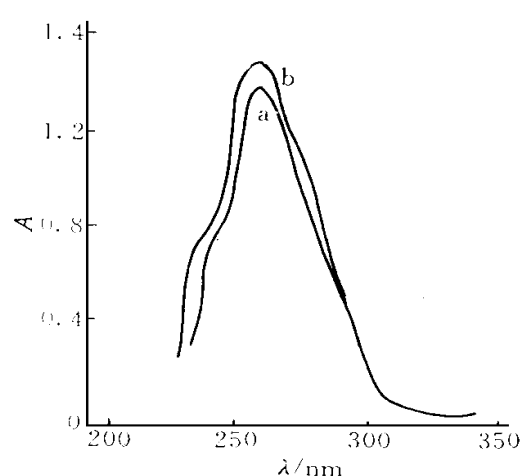


图4 铒离子与DNA作用后的DNA的差示UV曲线

Fig. 4 Differential UV spectra of DNA after adding Ce^{3+} ion into DNA solution
 a) Solution of $2 \times 10^{-4} \text{ mol} \cdot \text{L}^{-1}$ DNA, HAc-NaAc buffer ($\text{pH} = 6$) as the reference
 b) Solution of $2 \times 10^{-4} \text{ mol} \cdot \text{L}^{-1} \text{ Ce}^{3+}$ and $2 \times 10^{-4} \text{ mol} \cdot \text{L}^{-1}$ DNA, Solution of $2 \times 10^{-4} \text{ mol} \cdot \text{L}^{-1} \text{ Ce}^{3+}$ as the reference

2.3 稀土金属离子和DNA作用后产物的拉曼光谱

为进一步研究稀土金属离子与DNA的作用机理,分别测定了 Ce^{3+} 、 Er^{3+} 、 Sm^{3+} 、 Tb^{3+} 、 La^{3+} 、 Nd^{3+} 与DNA作用产物的拉曼光谱。当浓度为 $1.6 \times 10^{-3} \text{ mol} \cdot \text{L}^{-1}$ 的 Ce^{3+} 、 Er^{3+} 、 Sm^{3+} 、 Tb^{3+} 、 La^{3+} 、 Nd^{3+} 分别和 $1.0 \times 10^{-3} \text{ mol} \cdot \text{L}^{-1}$ DNA等体积混合时,生成大量絮状沉淀。但以 $1.6 \times 10^{-3} \text{ mol} \cdot \text{L}^{-1} \text{ Eu}^{3+}$ 和 $1.0 \times 10^{-3} \text{ mol} \cdot \text{L}^{-1}$ DNA等体积混合时,则不生成沉淀。用拉曼光谱对 Ce^{3+} 等稀土金属离子和DNA作用后的絮状沉淀进行了分析。

图5曲线a)是固态DNA的拉曼光谱谱线。其中大部分峰属碱基部分的振动。除碱基峰

外, 1100 cm^{-1} 的峰属 [P-O-C]^- 的对称伸缩振动。 814 cm^{-1} 的峰属 $\text{P}_\text{O}(=\text{O})_\text{C}$ 的对称伸缩振动,这

是多核苷酸的主链所特有的。主链断裂或构型发生变化时,此峰的强度变弱乃至消失^[9]。b)是 $1.6 \times 10^{-3} \text{ mol} \cdot \text{L}^{-1} \text{ Ce}^{3+}$ 与 $1.6 \times 10^{-3} \text{ mol} \cdot \text{L}^{-1}$ DNA作用后生成絮状沉淀吸干水后测得谱线。由图5可见, 814 cm^{-1} 峰的消失,各碱基的拉曼峰发生了不同程度的位移,表明 Ce^{3+} 离子具有切断DNA主链的磷酸二酯键的功能,使 814 cm^{-1} 的峰消失。同时也使DNA构型发生

变化,导致各碱基峰产生位移.DNA 构型的变化引起溶解度的变化而产生絮状沉淀.我们测定了 $\text{Ce}(\text{NO}_3)_3$ 拉曼谱线,在 1000 cm^{-1} 有一强的拉曼峰,图 5b) 中 1000 cm^{-1} 处出现的新峰明显与絮状物中所含 Ce^{3+} 的振动拉曼峰有关.分别测定 Er^{3+} 、 Sm^{3+} 、 Tb^{3+} 、 La^{3+} 、 Nd^{3+} 与 DNA 作用后生成絮状沉淀物的拉曼光谱, 814 cm^{-1} 处峰强度有不同程度变弱.推测这些稀土金属离子也可能有切断 DNA 主链磷酸二酯键的功能,但比 Ce^{3+} 要弱.

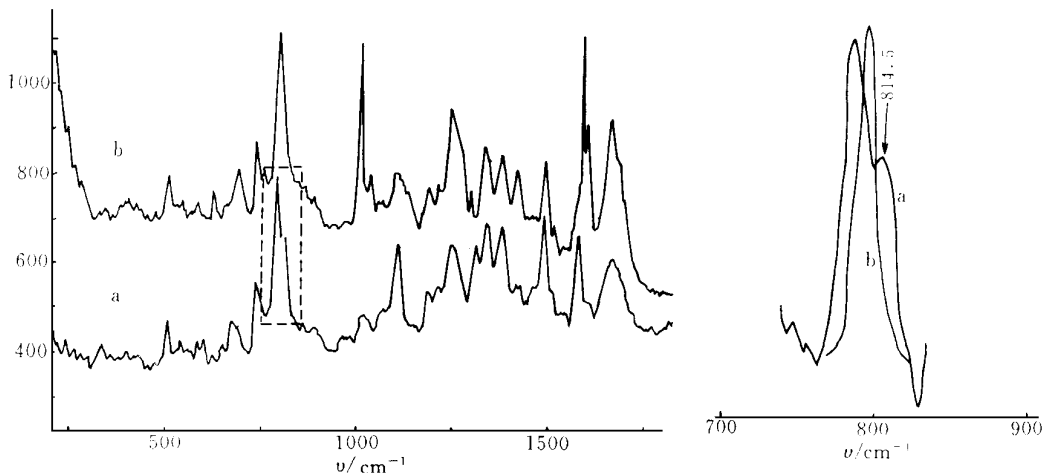


图 5 DNA 的拉曼光谱 a) DNA(小牛胸腺)固体 b) Ce^{3+} 离子与 DNAZ 作用后的絮状物

Fig. 5 Raman spectra of DNA a) DNA (calf thymus) solid b) Floccus from DNA solution adding Ce^{3+} ion

3 结 论

1) Ce^{3+} 、 Eu^{3+} 、 Er^{3+} 、 Sm^{3+} 、 Tb^{3+} 、 La^{3+} 、 Nd^{3+} 都能与 DNA 发生作用,但 Ce^{3+} 对 DNA 的作用更强,不同稀土金属离子与 DNA 作用机理可能不同.

2) Ce^{3+} 离子对 DNA 主链的磷酸二酯键具有切断功能, Ce^{3+} 离子有可能成为催化水解切断 DNA 的分子剪刀.

Study of the Effect of Rare Earth Ions on DNA Using Cyclic Voltammetry and Spectroscopy

Shen Heibai * Kang Yuzhuan Yang Haifeng Yu Lin Zhang Zongrang

(Dept. of Chem., Shanghai Teachers' Univ., Shanghai 200234)

Abstract The interaction between rare earth ions (e. g. Eu^{3+} , Ce^{3+} , Er^{3+} , Sm^{3+} , Tb^{3+} , La^{3+} and Nd^{3+}) and DNA had been investigated by using Cyclic Voltammetry, Ultraviolet and Raman Spectroscopy. After the adding of Ce^{3+} ion to DNA solution, the cathodic peak cur-

rent of Ce³⁺ ion reduction was found to decrease obviously, and the anodic peak current to decrease even more significantly. Differential UV spectra of Ce³⁺ ion depicted hyperchromic effect after the reaction of these two species and a new peak of 272 nm was found. Differential UV spectra of DNA also showed the hyperchromic effect. The peak of 814 cm⁻¹ disappeared in the Raman spectra of DNA. All of above results may be interpreted as the cleavage effect of cerium ion on DNA. Similar effect were observed between Eu³⁺ ion and DNA, but less significant than those observed in Ce³⁺ - DNA system. Probably due to the electrostatic interaction between Eu³⁺ and DNA and the stack effect of the base in DNA. Peak current decreasing and hyperchromic effect were also observed in cases of reaction of DNA with Er³⁺, Sm³⁺, Tb³⁺, La³⁺ and Nd³⁺, but all weaker than in Ce³⁺ - DNA system. The cleavage effect of Ce³⁺ on the phosphodiester linkage in DNA may be useful in employing the Ce³⁺ ion as the "Molecular scission" for catalytically hydrolytic cleavage of DNA.

Key words DNA, Rare earth ions, Cyclic voltammetry, UV and Raman spectroscopy

References

- 1 Westheimer F. Why nature chose phosphates. *Science*, 1987, 235:1173
- 2 刘长林,徐辉碧,周井炎.特异识别和切割DNA的过渡金属配合物. *化学通报*, 1995, 8:26
- 3 Komiya M. et al. Catalytically active species for CeCl₃-induced DNA hydrolysis. *J. Biochem.*, 1994, 115: 809
- 4 朱兵,李新民,赵大庆等.稀土元素对腺嘌呤及鸟嘌呤单核苷酸的水解断裂作用. *化学学报*, 1996, 54: 1089
- 5 Takasaki B. K., Chin J. Cleavage of the phosphate diester backbone of DNA with Cerium() and molecular oxygen. *J. Am. Chem. Soc.*, 1994, 116:1 121
- 6 G. Milazzo, Martin Blank著. *生物电化学—生物氧化还原反应*. 肖科等译. 天津:天津科学技术出版社, 1990, 4:224
- 7 李安之,丁玫,于海鹰等.不同价态金属离子对DNA构象的影响. *物理化学学报*, 1992, 8:207
- 8 Shen Hebai, Kuai Liheng, Ni Lihua et al. Study on the interaction between Eryphenylaniline and DNA by using cyclic voltammetry and UV spectroscopy. *J. of the Chinese Rare Earth Society*, 1997, 15(4):300
- 9 日本化学会编. *生化学实验讲座(2)*. 东京:东京化学同人, 1977. 145